

اثر همزمان عصاره‌ی میوه بلوط و سیس پلاتین بر روی چرخه‌ی سلولی، آپوپتوز و بیان ژن‌های کلیدی P21, MMP2, CDK2 در رده‌ی سلولی سرطان معده

مریم مهدی ساسان^۱, حمید گله‌داری^۲, سید منصور سید نژاد^۳, سالار اندرزی^۱, محمد رضا حجاری^۳

مقاله پژوهشی

چکیده

مقدمه: هدف از انجام این مطالعه، بررسی اثر عصاره‌ی میوه بلوط و ترکیب آن با داروی شیمی‌درمانی سیس پلاتین بر روی رده‌ی سلولی آدنو کارسینوم معده AGS و همچنین ارزیابی تأثیر آن بر چرخه‌ی سلولی، آپوپتوز، متاستاز و بیان ژن‌های کلیدی P21, MMP2 و CDK2 بود.

روش‌ها: اثرات سیتوکسیک عصاره‌ی میوه بلوط و ترکیب آن با سیس پلاتین بر روی سلولی AGS سرطان معده ۴۸ ساعت پس از تیمار با استفاده از روش MTT بررسی شد. پس از استخراج RNA و سترن cDNA با استفاده از Real-Time PCR تعییرات بیان ژن‌های CDK2, P21 و MMP2 مورد بررسی قرار گرفت. همچنین به بررسی چرخه‌ی سلولی و آپوپتوز جهت بررسی اثر این ترکیبات به روش فلوزایتمتری پرداخته شد.

یافته‌ها: نتایج نشان داد که استفاده ای همزمان عصاره‌ی میوه بلوط و سیس پلاتین، پس از ۴۸ ساعت انکوباسیون، موجب تأثیرات بیشتر آپوپتوز و مرگ سلولی و مهار متاستاز و همچنین کاهش بیان MMP2 نسبت به استفاده سیس پلاتین به تنهایی می‌باشد. علاوه بر این ترکیب فوق باعث توقف چرخه‌ی سلولی در فاز Sub G1 و کاهش فاز S می‌شود. از طرفی فعالیت CDK2/cyclin E به واسطه افزایش سطح بیان ژن P21 کاهش می‌یابد.

نتیجه‌گیری: به نظر می‌رسد ترکیب عصاره‌ی میوه بلوط و سیس پلاتین می‌تواند با افزایش بیان ژن‌هایی که نقش سرکوبگر تومور دارند، مثل P21 و کاهش بیان CDK2 ها منجر به مهار رشد شوند. از سوی دیگر با کاهش بیان ژن‌هایی مثل MMP2 از مهاجرت سلول‌ها جلوگیری می‌کند. همچنین باعث مهار رشد سلول‌های سرطانی از طریق القاء آپوپتوز می‌گردد و این اثر قابل مقایسه با اثر سیس پلاتین به تنهایی می‌باشد.

وازگان کلیدی: سرطان معده؛ مهارکننده‌ی تومور؛ بلوط؛ سیس پلاتین؛ آپوپتوز؛ ژن

ارجاع: مهدی ساسان مریم، گله‌داری حمید، سید نژاد سید منصور، اندرزی سالار، حجاری محمد رضا. اثر همزمان عصاره‌ی میوه بلوط و سیس پلاتین بر روی چرخه‌ی سلولی، آپوپتوز و بیان ژن‌های کلیدی P21, MMP2, CDK2 در رده‌ی سلولی سرطان معده. مجله دانشکده پزشکی اصفهان ۱۴۰۲: ۱۱۳۹-۱۱۲۸.

مقدمه

سرطان، دومین علت اصلی مرگ و میر در جهان پس از بیماری‌های قلبی-عروقی است (۱). سرطان معده (Gastric Cancer)، پنجمین نوع شایع سرطان و سومین علت اصلی مرگ و میر ناشی از سرطان در سراسر جهان است (۲). با وجود کاهش شیوع جهانی سرطان، سرطان معده همچنان مسئول ۳ تا ۱۰ درصد از مرگ و میر ناشی از سرطان می‌باشد (۳). سرطان معده ناشی از ترکیبی از عوامل محیطی و تجمع

تغییرات ژنتیکی خاص است. با وجود روند کاهشی در سراسر جهان، پیشگیری از سرطان معده باید در اولویت باقی بماند (۴). عوامل خطر متعددی با این سرطان مرتبط هستند. یکی از مهم‌ترین عوامل خطر مرتبط با سرطان معده، عفونت با هلیکوباتر پیلوری و ویروس اپشتین بار (Epstein-Barr) است (۵). رژیم غذایی که شامل افزایش نمک، غذاهای دودی، نیترات‌ها، نیتریت‌ها و آمین‌های ثانویه می‌باشد، نقش مهمی در افزایش خطر سرطان معده دارد (۶). اگرچه

۱- گروه زیست‌شناسی، دانشکده‌ی علوم، دانشگاه شهید چمران اهواز، اهواز، ایران

۲- گروه ژنتیک، دانشگاه شهید چمران اهواز، اهواز، ایران

۳- گروه زیست، دانشگاه شهید چمران اهواز، اهواز، ایران

نویسنده‌ی مسؤول: محمد رضا حجاری: گروه زیست، دانشگاه شهید چمران اهواز، اهواز، ایران

Email: mohamad.hajari@gmail.com

انستیتو پاستور تهران تهیه و کشت داده شد. سلول‌ها در فلاسک کشت T25 و محیط کشت (Gibco, Germany) RPMI به همراه FBS (Gibco, Germany) و ۱۰ درصد سرم جنین گاو (Gibco, Germany) (FBS) و ۱۰۰ mg/ml استرپتومایسین U/ml از پنی‌سیلین G (Gipco, Germany) (پن استرپ) رشد داده شدند. سلول‌ها در معرض ۵ درصد دی‌اکسید کربن و ۹۵ درصد هوای مرطوب و در دمای ۳۷ درجه سانتی‌گراد در فلاسک T25 جهت رشد و تکثیر قرار داده شدند.

برای تهیی عصاره میوه بلوط، پس از جداسازی پوسته‌های آن، میوه پودر شد و برای گرفتن عصاره از روش سوکله استفاده گردید. در این روش به ازای هر ۱۰ گرم از پودر میوه بلوط، ۲۰۰ سی‌سی حلال که شامل آب و اتانول است اضافه و در دستگاه سوکله ریخته شد. حال از عصاره‌ها جدا شد و سپس محلول به کمک دستگاه Rotavapor از عصاره‌ها جدا و محلول به دست آمده پس از ۴۸ ساعت صاف و در دمای حدود ۴۰-۳۵ درجه سانتی‌گراد قرار داده شد تا آب و الکل آن تبخیر شود. پس از تغليط، مایع استخراج شده در یخچال نگهداری شد (۱۴).

تیمار سلول: اثر عصاره میوه بلوط و سیس پلاتین (ساخت شرکت آمریکایی Abcam)، به صورت جداگانه و همزمان با هم بر روی این سلول‌ها بررسی شد. به این منظور ابتدا بقای سلولی با روش شمارش سلولی با تریپان بلو محاسبه گردید. سپس به میزان ۵۰۰۰ سلول در هر چاهک پلیت ۹۶ خانه کشت داده شد. به منظور تیمار سلول‌ها و اطمینان از چسبیدن سلول‌ها به کف چاهک‌ها، برای مدت ۲۴ ساعت سلول‌ها در دمای ۳۷ درجه، رطوبت ۹۵ درصد و CO₂ به میزان ۵ درصد نگهداری شدند. عصاره میوه بلوط در غلظت‌های ۴۰، ۴۰، ۸۰، ۱۲۰ و ۱۶۰ میکروگرم بر میلی‌لیتر و سیس پلاتین در غلظت‌های ۱۲، ۲۴، ۳۶ میکرومولار مورد استفاده قرار گرفت. بعد از طی بازه‌ی زمانی مشخص ۴۸ ساعته میزان بقای سلولی با آزمون MTT، ارزیابی شد. جهت بررسی تیمار ترکیبی سیس پلاتین و عصاره میوه بلوط در غلظت ۵۰ IC به دست آمده از هر دو دارو، سلول‌ها به ۳ گروه برای تیمار تقسیم‌بندی شدند. به همه‌ی گروه‌ها غلظت‌های ۳۵، ۴۰، ۷۰ و ۱۴۰ میکروگرم بر میلی‌لیتر عصاره بلوط تیمار شدند، سپس به هر یک از گروه‌ها یک غلظت خاص از سیس پلاتین زده شد (گروه یک رقت ۶، گروه دو رقت ۱۲ و گروه سه رقت ۲۴ میکرومولار) و سپس سلول‌ها به مدت ۴۸ ساعت نگهداری شدند. سپس تست MTT جهت به دست آوردن CI گروه‌های تیمار با استفاده از نرم‌افزار CompuSyn01 انجام شد.

آزمون MTT ۴۸ ساعت بعد از تیمار دارویی، محیط کشت از چاهک‌های پلیت‌های ۹۶ خانه حذف شد و به هر چاهک ۳۰ میکرولیتر محلول MTT زرد رنگ اضافه گردید و به مدت

۱۰ دقیقه سرطان معده به صورت تک گیر اتفاق می‌افتد، حدود ۱۰ درصد از موارد سابقه‌ی خانوادگی را نشان می‌دهد (۷). تقریباً ۱۰ درصد از موارد سرطان معده در خانواده‌ها و ۱ تا ۳ درصد موارد به دلیل سندروم HDGC (Hereditary diffuse gastric cancer) هستند (۷). نوع دیگر ادئوکارسینوم معده، پولیپ آدنوماتوز خانوادگی است که یک بیماری ارثی و در درجه اول بیماری اتوزومال غالب با ایجاد آدنوم و کارسینوم کولورکتال می‌باشد. بیماران مبتلا به FAP (Familial adenomatous polyposis) همچنین تومورهای دسموئید شوند (۸).

سه داروی مبتنی بر پلاتین وجود دارد که در کل جهان برای درمان سرطان استفاده می‌شود: سیس پلاتین، کربوپلاتین و اکرالی پلاتین. چهار داروی پلاتینیوم نیز وجود دارد که دارای تأییده نظراتی به صورت کشورهای فردی هستند: هپتاپلاتین (کره)، لوپاپلاتین (چین)، میری پلاتین (ژاپن) و ندپاپلاتین (ژاپن) (۹). سیس پلاتین خواص سیتو توکسیک خود را از طریق واکنش با DNA اعمال می‌کند که در نهایت به آپوپتوز برگشت ناپذیر ختم می‌شود. سیس پلاتین در درجه اول با سایتها N7 پورین در تعامل است (۱۰).

بلوط، دارای حدود ۵۰ گونه که در نواحی معتمد و نیمه گرم‌سیری نیمکره‌ی شمالی گسترده شده است. میوه‌ی این درخت یکی از منابع غذی از کربوپیدرات، اسید‌آمینه، چربی و استرول‌های مختلف بوده است. میوه‌ی بلوط علاوه بر ترکیبات تغذیه‌ای حاوی مقادیر قابل توجهی از ترکیبات فعال بیولوژیکی می‌باشد که از آن جمله می‌توان به تانن، گالیک اسید، الاجیک اسید گالویل یا هگزا‌اهیدروکسیدی فنوئیل اشاره کرد که تمامی این ترکیبات دارای خواص آنتی اسیدانی هستند (۱۱). تحقیقات اخیر زیست‌پژوهشی مرتبط با پلی‌فنل‌ها و فعالیت آنتی اسیدانی تعدادی از گیاهان و غذاها نشان می‌دهند که پلی‌فنول‌ها مانند فلاونونیدها، تانن‌ها و پرو‌آنتوسیانیدین‌ها در برابر توسعه سرطان، بیماری‌های قلبی-عروقی، دیابت، پوکی استخوان و بیماری‌های عصبی نقش محافظتی دارند (۱۲).

در این مطالعه اثرات مهاری عصاره میوه بلوط در غلظت ۵۰ میکروگرم بر میلی‌لیتر و سیس پلاتین در غلظت ۱۲ به صورت تیمار همزمان با داروی سیس پلاتین، بر رشد، تهاجم و متاستاز سلول‌های سرطانی معده همراه با القای آپوپتوز و نیز توقف چرخه‌ی سلولی مورد بررسی قرار گرفت. با وجود مطالعات صورت گرفته به روی اثر عصاره میوه بلوط بر روی سلول‌های سرطانی (۱۳)، اثر این میوه بر روی سرطان معده آشکار نمی‌باشد. در این مطالعه بر آن بودیم تا به بررسی اثر ضد سرطانی عصاره میوه بلوط و مقایسه‌ی آن با استفاده از داروی سیس پلاتین بپردازیم.

روش‌ها

کشت سلول: ردیه سلولی سرطان معده AGS از بانک سلولی

از ته فلاسک، سلول‌ها با تریپسین جدا و با سرعت ۱۱۰۰ rpm در دقیقه سانتریفیوژ شدند. سپس دو مرتبه با PBS شستشو داده شدند. برای لیزر کردن سلول‌ها به آن‌ها ۱ میلی‌لیتر محلول استخراج RNX (سیناژن، ایران) سرد اضافه شد و بر اساس پروتکل مربوطه استخراج صورت پذیرفت کمیت و کیفیت RNA استخراج شده با استفاده از دستگاه نانودرایپ و ژل الکتروفوروز تعیین شد. بررسی غلط و خلوص نمونه استخراج شده با استفاده از جذب نوری در طول موج‌های ۲۶۰ نانومتر، ۲۸۰ نانومتری ۲۳۰ نانومتر انجام شد.

ساخت cDNA مکمل مولکول‌های DNA مکمل با کیت شرکت پیشگام ایران ساخته شد. مخلوط واکنش شامل یک میکروگرم RNA، ۵ میکرو لیتر، بافر × ۵ و ۰/۵ میکرو لیتر آغازگر واکنش (dT). Oligo ۰/۵ میکرو لیتر آغازگر شش نوکلئوتیدی تصادفی، دو میکرو لیتر مخلوط داکسی نوکلئونید تری‌سفات (۱۰ میلی‌مولار) یک میکرو لیتر مهارکننده آنزیمی RNase. یک میکرو لیتر آنزیم رونوشت‌بردار معکوس M-MuLV و آب مقطر دو بار تعظیر (تا حجم نهایی ۱۳/۵ میکرو لیتر) بود. سپس برنامه‌ی دمایی- زمانی به صورت ۲۵ درجه‌ی سانتی‌گراد به مدت ۵ دقیقه (برای اتصال cDNA آغازگر)، ۴۲ درجه‌ی سانتی‌گراد به مدت ۶۰ دقیقه (ساخت آغازگر)، ۷۰ درجه‌ی سانتی‌گراد به مدت ۵ دقیقه، (غیرفعال شدن رونوشت‌بردار معکوس) و ۴ درجه‌ی سانتی‌گراد به مدت ۵ دقیقه Bio-RaPCR انجام شد. واکنش با استفاده از دستگاه iCycler Thermal Cycler (d آمریکا) صورت گرفت.

طراحی پرایمرها: در این مطالعه ژن‌های P21, MMP2, CDK2 مورد بررسی قرار گرفتند. ژن GAPDH به عنوان کنترل داخلی انتخاب شد. برای طراحی پرایمر اختصاصی برای ژن‌های مورد نظر ابتدا با استفاده از سایت NCBI توالي نوکلئوتیدی مربوط به رونوشت‌های ژن‌های مورد مطالعه به دست آمد و سپس، محل مناسب به صورت آنلاین و به وسیله‌ی نرم افزار Oligo7 محل یابی شد. با کمک نرم‌افزار Primer BLAST از سایت NCBI و شرایط اختصاصی بودن پرایمر بررسی شد. برای سنتز به شرکت پیشگام در ایران سفارش داده و پرایمرها برای استفاده در واکنش PCR با آب تزریقی رقیقسازی و به غلط ۱۰ میکرومولار (μM) درست شدند (جدول ۱).

آزمون Real-time RT- PCR از آزمون PCR در زمان حقیقی (Real-time PCR)، بر پایه‌ی رنگ SyberGreen به منظور ارزیابی بیان ژن‌های مورد مطالعه استفاده شد. برنامه‌ی زمانی - گرمایی دستگاه در سه مرحله انجام شد. مرحله‌ی اول که منجر به واسرت شدن مولکول‌های cDNA و فعال شدن آنزیم پلیمراز می‌شود به صورت ۹۵ درجه‌ی سانتی‌گراد به مدت ۳۰ ثانیه، مرحله‌ی دوم ۹۵ درجه‌ی

۴ ساعت در انکوباتور ۳۷ درجه در شرایط استاندارد انکوبه شد که در این مدت کریستال‌های فورمازان که در آب نامحلول اند شکل گرفت. پس از ۴ ساعت، ۱۲۰ میکرو لیتر DMSO محلول به هر چاهک اضافه شد. کریستال‌های نامحلول به صورت محلول درآمدند. در نهایت جذب نوری محلول به دست آمده در طول موج ۵۷۰ نانومتر توسط دستگاه اسپکتروفوتومتر خوانده شد.

در مرحله‌ی بعد با توجه به IC^{۵۰} داروها، ترکیبی از دارو در غلظت‌های مختلفی تهیه شد و اثر ضد سرطانی آن‌ها نیز توسط روش MTT مورد سنجش قرار گرفت و اثرات سیتیزیسم و آنتاگونیسم داروها با نرم‌افزار compusyn1.0 بررسی گردید و به دست آمد.

آزمون ترمیم زخم در این پژوهش، جهت بررسی تأثیر داروی سیس پلاتین و عصاره‌ی بلوط و ترکیب AGS این دو با یکدیگر بر روی قابلیت مهاجرت سلول‌های سرطانی از آزمون ترمیم زخم استفاده شد. به این منظور، تعداد ۸۰.۰۰۰ سلول، در هر چاهک پلیت ۱۲ خانه ریخته شد و پس از گذشت ۲۴ ساعت و اتصال سلول‌ها به کف هر چاهک، همزمان با تعویض محیط کشت کامل با محیط کشت حاوی غلظت‌های مختلف داروی سیس پلاتین و عصاره‌ی میوه‌ی بلوط؛ با استفاده از سر سمپلر، خراشی در کف پلیت داده شد. پس از گذشت ۴۸ ساعت، گروه‌های تیمار شده و کنترل در زیر میکروسکوپ بررسی و تعداد سلول‌های مهاجرت کرده به فضای خالی ایجاد شده در اثر خراش، بررسی شد.

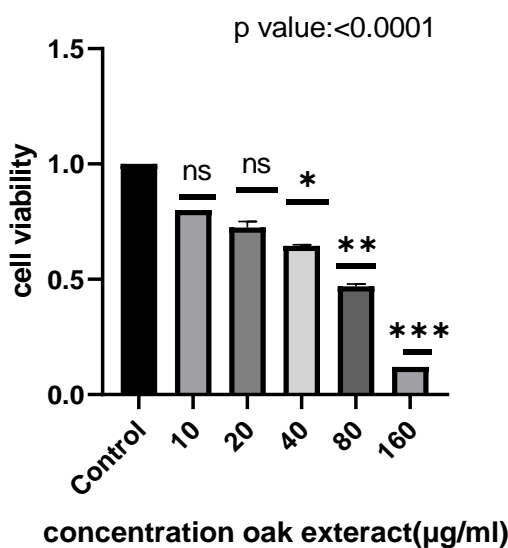
آنالیز چرخه‌ی سلولی و آپوپتوز با روش فلوراسیونتی: در این مطالعه به منظور بررسی تأثیر این دو ماده بر سلول‌های AGS، ابتدا سلول‌ها با غلظت‌های (IC^{۵۰}) ۱۲ μM سیس پلاتین و (IC^{۵۰}) ۷۰ μg/ml عصاره‌ی بلوط و غلظت ترکیبی از هر دو داروی سیس پلاتین و عصاره‌ی بلوط با غلظت ۷۰/۱۲ به صورت جداگانه تیمار شدند و سپس تأثیر این دو دارو بر چرخه‌ی سلولی و آپوپتوز آپوپتوز از طریق روش فلوراسیونتی و از طریق مورد بررسی قرار گرفت. ارزیابی سلول‌های آپوپتوزیک و نکروتیک به روش رنگ‌آمیزی Annexin V-FITC/PI از مرسوم ترین و مهم‌ترین روش‌ها برای بررسی مکانیزم اثربخشی داروها و سموم است. در این آزمون با استفاده از رنگ‌آمیزی سلول‌ها با FITC و Annexin V درصدی از سلول‌ها که پس از تیمار با ترکیب مورد نظر، زنده بوده و یا وارد فازهای آپوپتوز و نکروز به عنوان دو مکانیزم مرگ سلولی شده‌اند، مشخص می‌شود.^(۱۵)

استخراج RNA ابتدا به تعداد ۵۰۰۰ سلول AGS، در فلاسک‌های T25 ریخته شد، بعد از ۲۴ ساعت با غلظت IC^{۵۰} به دست آمده سیس پلاتین و IC^{۵۰} به دست آمده عصاره‌ی میوه‌ی بلوط و غلظت CI از ترکیب دو دارو تیمار شدند و پس از مدت ۴۸ ساعت استخراج RNA انجام شد. برای جداسازی سلول‌ها

جدول ۱. پرایمرهای مورد استفاده

gen	Annealing temperature		Primer sequence	Size	GC	PCR product length
<i>MMP2</i>	59.46	F	5'-CCTCAGAGCCACCCCTAAAG-3'	20	60	160
	60.32	R	5CACCAAGTGCCTCTTGAGAC-3'	20	60	
<i>P21</i>	60.20	F:	5'-TGGAGACTCTCAGGGTCGAAA -3'	21	52.38	165
	60.32	R:	5'-CGGCGTTGGAGTAGAA -3'	20	55	
<i>CDK2</i>	60.81	F	5- ATGGACGGAGCTTGTATCGC -3'	21	52.38	105
	60.68	R	5'- CTGGCTTGGTCACATCCTGG -3'	20	60	
<i>GAPDH</i>	58.82	F	5'- CAGCCTCAAGATCATCAGCAATG-3'	20	55	100
	58.14	R	-3' 5-CATGAGTCCTTCCACGATAACCA	20	55	

همچنین برای تیمار ترکیبی دو دارو، نتایج به دست آمده بیانگر سینزیسم بودن اثر داروی ترکیبی به ازای افزایش دوز داروها می‌باشد.



شکل ۱. درصد زنده‌مانی سلول‌های سرطانی AGS برای غلظت‌های آزمایش شده از عصاره‌ی میوه‌ی بلوط پس از ۴۸ ساعت

پس از تیمار سلول‌های AGS با سیس پلاتین و عصاره‌ی میوه‌ی بلوط در زمان ۴۸ ساعت با استفاده از نرم‌افزار GraphPad prism9 میزان IC ۵۰ محاسبه گردید. میزان IC ۵۰ برای سیس پلاتین ۱۲ میکرومولار و برای عصاره‌ی میوه‌ی بلوط ۷۰ میکروگرم بر میلی‌لیتر به دست آمد.

آنالیز چرخه‌ی سلولی با روش فلورسیوتومتری: با توجه به نمودارهای به دست آمده می‌توان چنین نتیجه گرفت که هر کدام از این داروها به تنهایی باعث افزایش میزان فاز G1 و کاهش فاز S در سیکل سلولی می‌شوند. همچنین در گروهی که ترکیب دو دارو به کار رفته است شاهد افزایش نسبت فاز G1 به فاز G2 هستیم که می‌تواند به عنوان arrest در این فاز در نظر گرفته شود. همچنین دوز ترکیبی سیس پلاتین یعنی دوز ۱۲ میکرومولار به همراه عصاره‌ی بلوط یعنی

سانتی‌گراد به مدت ۱۵ ثانیه و ۶۰ درجه‌ی سانتی‌گراد به مدت ۱ دقیقه برای ۴۰ چرخه متوالی و مرحله‌ی نهایی برای ترسیم منحنی ذوب به صورت ۹۵ درجه‌ی سانتی‌گراد به مدت ۱۵ ثانیه، ۶۰ درجه‌ی سانتی‌گراد به مدت ۳۰ ثانیه و ۹۵ درجه‌ی سانتی‌گراد به مدت ثانیه ۱۵ انجام شد. واکنش‌های Real-time PCR در حجم نهایی ۱۰ میکرولیتر به صورت تکرار دوتایی انجام شد. در هر واکنش ۵ میکرولیتر SYBR-Green PCR Master Mix، یک میکرولیتر پرایمیر برگشت اختصاصی هر ژن، یک میکرولیتر cDNA و مابقی آن آب مقطر دوبار تقطیر اضافه شد تا به حجم نهایی ۱۰ میکرولیتر رسید.

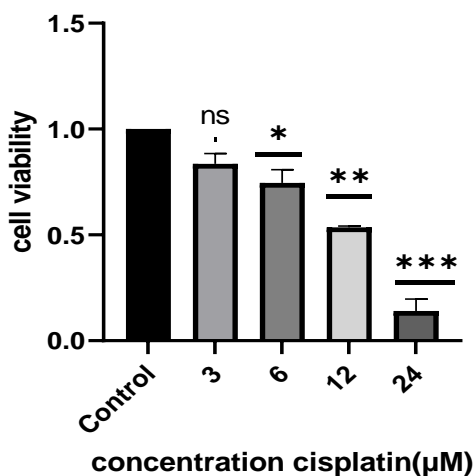
در این مطالعه، ارزیابی کارآیی تکثیر ژن کنترل داخلی (GAPDH) و ژن‌های مورد مطالعه ضروری بود. به منظور اعتبارپذیر بودن کاربرد فرمول فوق ضروری است که کارآیی تکثیر ژن هدف و ژن کنترل داخلی تقریباً برابر باشد. بدین منظور اقدام به رسم منحنی استاندارد log مقادیر استاندارد رقت‌سازی شده هر ژن (log input) در برابر مقادیر Ct گردید. بدین ترتیب که یک نمونه از محصولات cDNA با انتخاب و رقت‌های ۱۰۰، ۱۰، ۱، ۰/۱ و ۰/۰۱ جهت هر ژن تهیه گردید. مقادیر میانگین Ct رقت‌های مختلف در دو بار تکرار محاسبه شد. کارآیی تکثیر ژن هدف و ژن کالیبراتور با استفاده از فرمول $E = 10^{-(1/\text{slope})}$ محاسبه گردید. در این فرمول E برابر با کارآیی تکثیر است.

یافته‌ها

نتایج حاصل از محاسبه‌ی بقای سلولی تیمار باسیس سیس پلاتین و عصاره‌ی میوه‌ی بلوط: تیمار سلول‌های AGS با غلظت‌های متفاوت سیس پلاتین و عصاره‌ی میوه‌ی بلوط حاکی از آن است که داروی سیس پلاتین در غلظت‌های بین ۶ تا ۲۴ میکرومولار قابلیت کشندگی معنی‌دار برای سلول‌ها دارد و عصاره‌ی میوه‌ی بلوط در غلظت‌های بین ۴۰ تا ۸۰ میلی‌گرم قابلیت کشندگی معنی‌دار برای سلول‌ها دارد؛ لازم به ذکر است بقای سلولی برای گروه شاهد ۱۰۰ درصد در نظر گرفته شد. نتایج حاصل از تیمار در شکل ۱ و ۲ نشان داده شده است.

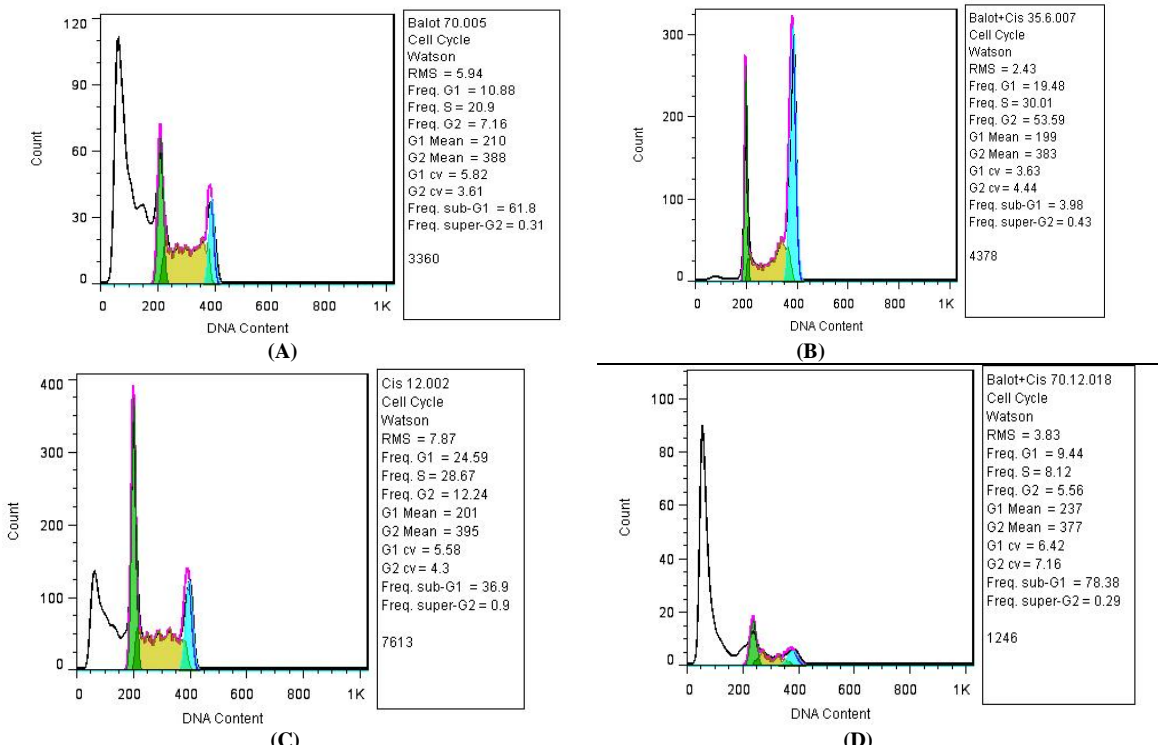
p value:<0.0001

دوز ۷۰ میکروگرم بر میلی لیتر، اثر کشنده‌گی خیلی بالایی را ایجاد می‌کند که مقدار آن از حالت نیمار به تنها یکی با دارو و یا عصاره بیشتر است (شکل ۳).

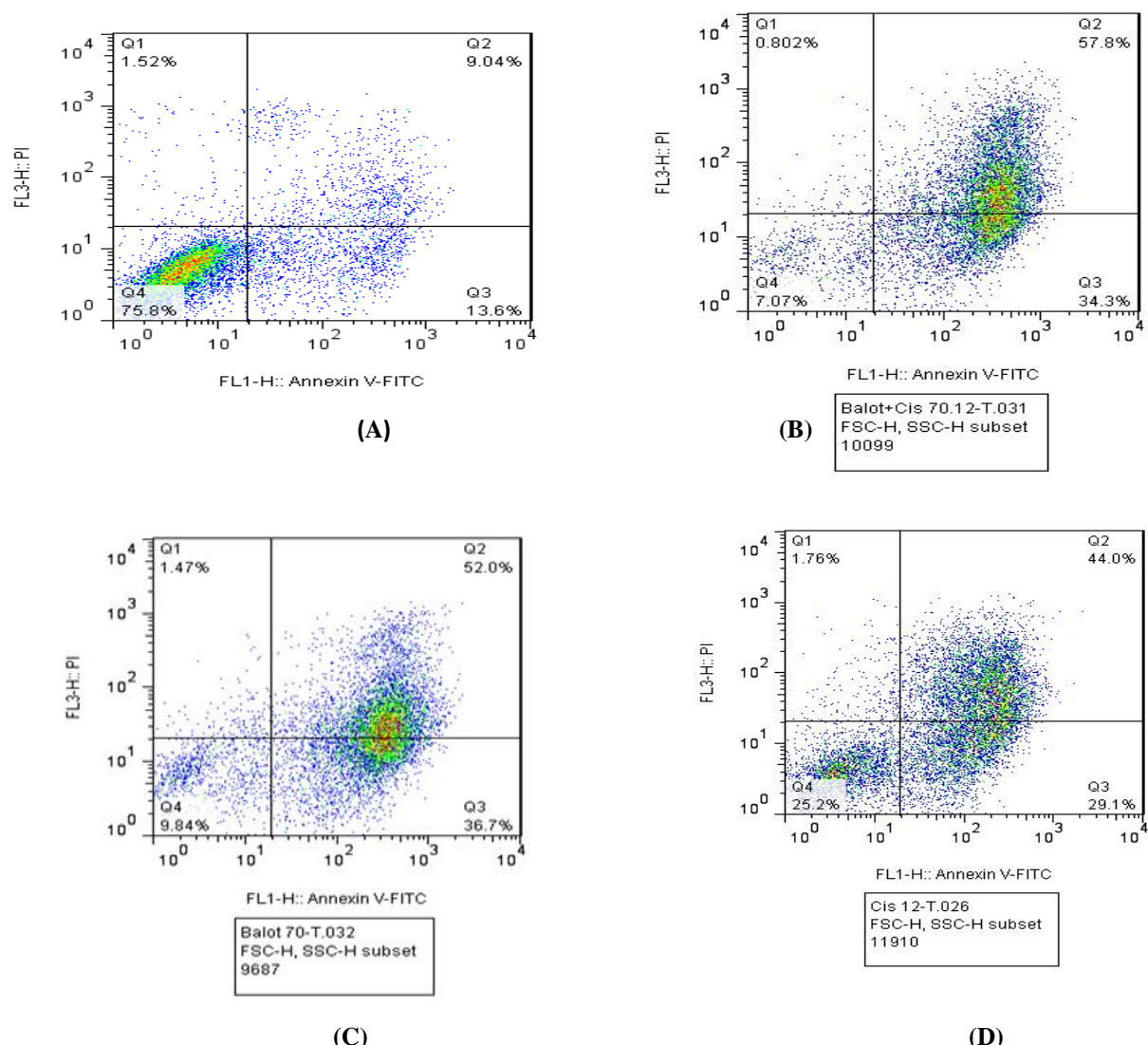


شکل ۲. درصد زنده‌مانی سلول‌های سرطانی AGS برای غلظت‌های آزمایش شده از سیس‌پلاتین پس از ۴۸ ساعت

آنالیز آپوپتوز با روش فلورسایتومنتری توسط بررسی Annexin/FITC در این مطالعه، تأثیر غلظت‌های μM سیس پلاتین و ۷۰ $\mu\text{g}/\text{ml}$ عصاره بلوط و غلظت ترکیبی از هر دو داروی سیس پلاتین و عصاره بلوط با غلظت $70/12$ بر آپوپتوز از طریق فلورسایتومنتری مورد بررسی قرار گرفت و نتایج طبق نمودارهای شکل (۴-۷) به دست آمد. در نمودارهای حاصل از بررسی Annexin V/FITC سلول‌های نکروزه (Q1) و سلول‌های مرده (Q2) و سلول‌های در حال آپوپتوز (Q3) سلول‌های زنده (Q4) می‌باشند. بررسی آزمون انکسین نشان داد، نوع مرگی که ایجاد شده، غالباً از نوع آپوپتوز می‌باشد. با توجه به نتایج بدست آمده نسبت به نمونه‌ی کنترل، شاهد اثرات القا گر آپوپتوز توسط سیس‌پلاتین و عصاره بلوط بر سلول‌ها بودیم که این اثر در دوز ترکیبی این دو دارو مشهودتر بود و این می‌تواند نشان‌دهنده اثر سینتریسمی این دو دارو در ترکیب با یکدیگر باشد (شکل ۴).



شکل ۳. نمونه‌ی نرمال (A)، بیمار با عصاره بلوط ۷۰ میکرومولار (B)، بیمار با سیس‌پلاتین ۱۲ میکرومولار (C)، بیمار با سیس‌پلاتین و عصاره بلوط ۱۲/۷۰ (D). می‌توان چنین نتیجه گرفت که هر کدام از این داروها به تهایی باعث افزایش میزان Sub G1 می‌شوند که معرف مرگ یا آپوپتوز است؛ اما در گروهی که ترکیب دو دارو به کار رفته، شاهد افزایش مقدار بیشتر در پیک Sub G1 است که می‌تواند به عنوان arrest در این فاز در نظر گرفته شود. در حالی که دوز ترکیبی سیس‌پلاتین یعنی دوز ۱۲ میکرومولار به همراه عصاره بلوط یعنی دوز 70 mg ، اثر کشنده‌گی خیلی بالایی را ایجاد می‌کند که مقدار آن از حالت بهتایی دارو و عصاره بیشتر است. این اثر نشان‌دهنده اثر سینتریسم دو دارو مورد استفاده می‌باشد.



شکل ۴. نمونه‌ی نرمال (A) نمونه‌ی تیمار شده ترکیبی سیس پلاتین و بلوط سلول‌ها در فاز آپوپتوز می‌باشد و تنها ۹۲/۰ درصد سلول‌ها در فاز نکروز و مابقی سلول‌ها در فاز زنده هستند و این نشان‌دهنده‌ی القاء آپوپتوز توسط ترکیب این دو دارو است. (B) نمونه‌ی تیمار با غلظت ۷۰ میلی‌گرم بلوط پس از ۴۸ ساعت. ۸۸/۱ درصد سلول‌ها در فاز آپوپتوز می‌باشد و تنها ۱/۴ درصد سلول‌ها در فاز نکروز هستند. (C) نمونه‌ی تیمار شده با غلظت ۱۲ میکرو مولار سیس پلاتین پس از ۴۸ ساعت. ۷۴/۱ درصد سلول‌ها در فاز آپوپتوز و تنها ۱/۷ درصد سلول‌ها در فاز نکروز و مابقی سلول‌ها در فاز زنده می‌باشد و این نشان‌دهنده‌ی القاء آپوپتوز توسط سیس پلاتین است. (D).

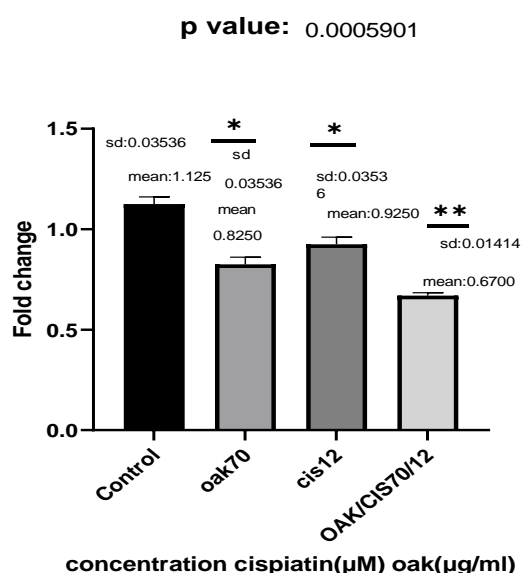
نشان‌دهنده‌ی اثر سینزrیسمی ترکیب این دو دارو می‌باشد (شکل ۵). بررسی تغییر بیان ژن *CDK2* نتایج نشان‌دهنده‌ی کاهش بیان نسبی ژن *CDK2* در نمونه‌های تیمار شده با غلظت ۷۰ میکروگرم بر میکروگرم بیان نسبی آن در نمونه‌های تیمار شده با ۱۲ میکرو مولار سیس پلاتین و همچنین کاهش بیان نسبی آن در نمونه‌های تیمار ترکیبی این دو غلظت (۷۰/۱۲) از هر دو دارو نسبت به کنترل می‌باشد (شکل ۶).

بررسی بیان ژن‌ها

بررسی تغییر بیان ژن *P21* نتایج نشان‌دهنده‌ی افزایش بیان نسبی *P21* در نمونه‌های تیمار شده با غلظت ۷۰ میکروگرم بر میکروگرم بیان نسبی افزایش بیان نسبی در نمونه‌های تیمار شده با بلوط و همچنین افزایش بیان نسبی در نمونه‌های تیمار شده با ۱۲ میکرو مولار سیس پلاتین و همچنین افزایش بیان نسبی در نمونه‌های تیمار ترکیبی این دو غلظت از هر دو دارو نسبت به کنترل می‌باشد که این افزایش بیان در غلظت ترکیبی بیشتر مشاهده شد و

بررسی اثر تیمار داروها بر قابلیت مهاجرت سلول های AGS استفاده از مدل ترمیم زخم در این مطالعه تأثیر غلطه های (IC_{50}) $12 \mu M$ سیس پلاتین و (IC_{50}) $70 \mu M$ میکرو گرم بر میلی لیتر عصاره بلوط و غلطه ترکیبی از هر دو داروی سیس پلاتین و عصاره بلوط با غلطه $70/12$ بر مهاجرت سلول های AGS مورد بررسی قرار گرفت. پس از گذشت ۴۸ ساعت از تیمار سلول ها با غلطه های ذکر شده؛ تعداد سلول های مهاجرت کرده به ناحیه زخم در \mathbb{E} ناحیه میکروسکوپی مختلف با استفاده از نرم افزار J Image محاسبه شدند و در مقایسه با کنترل موربد بررسی قرار گرفتند.

بررسی داده های حاصل از شمارش سلول های مهاجرت کرده به فضای زخم نشان دهنده تفاوت معنی دار در قابلیت مهاجرت سلول های AGS دریافت کننده تیمار های مختلف در مقایسه با سلول های کنترل است. نتایج نشان از مهار معنادار مهاجرت سلول های سرطانی در غلطه های (IC_{50}) $12 \mu M$ میکرو مولار سیس پلاتین و (IC_{50}) $70 \mu M$ میکرو گرم بر میلی لیتر عصاره بلوط و ترکیب این دو دارو در غلطه های $70/12$ نسبت به نمونه کنترل دارد (اشکال ۶-۷).

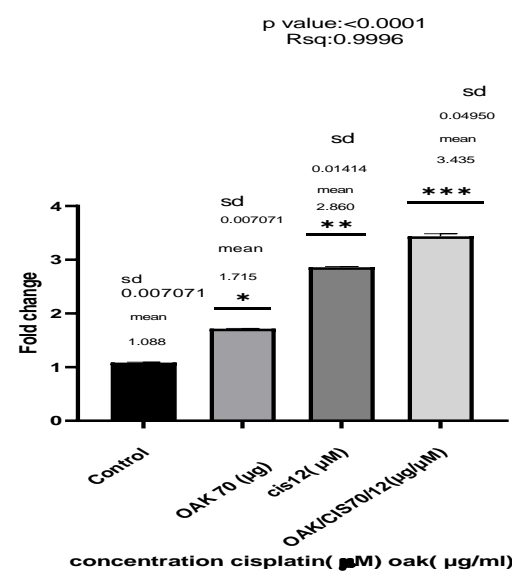


شکل ۷ نمودار بیان نسبی $MMP2$ در نمونه های تیمار شده AGS و نمونه کنترل

($*$ = OAK); (‡ = سیس پلاتین)

بحث

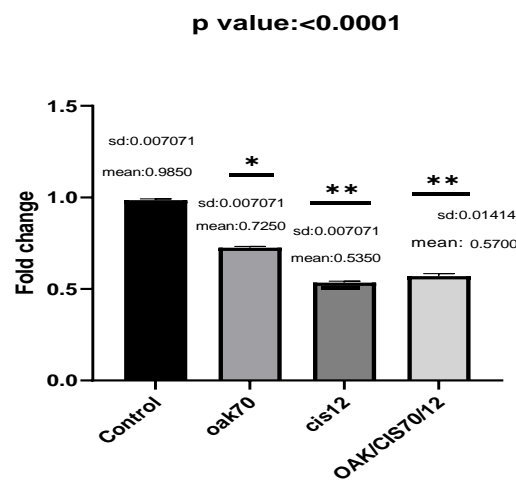
نتایج حاصل از این مطالعه بیانگر اثر کشنده گی عصاره میوه بلوط بر سلول های سرطان معده AGS می باشد، به نحوی که بر اساس داده های حاصل از MTT در غلطه های غیر سی می این ماده کاهش زنده مانی سلول ها نسبت به گروه شاهد مشاهده شد.



شکل ۵. نمودار بیان نسبی $P21$ در نمونه های تیمار شده AGS و نمونه کنترل

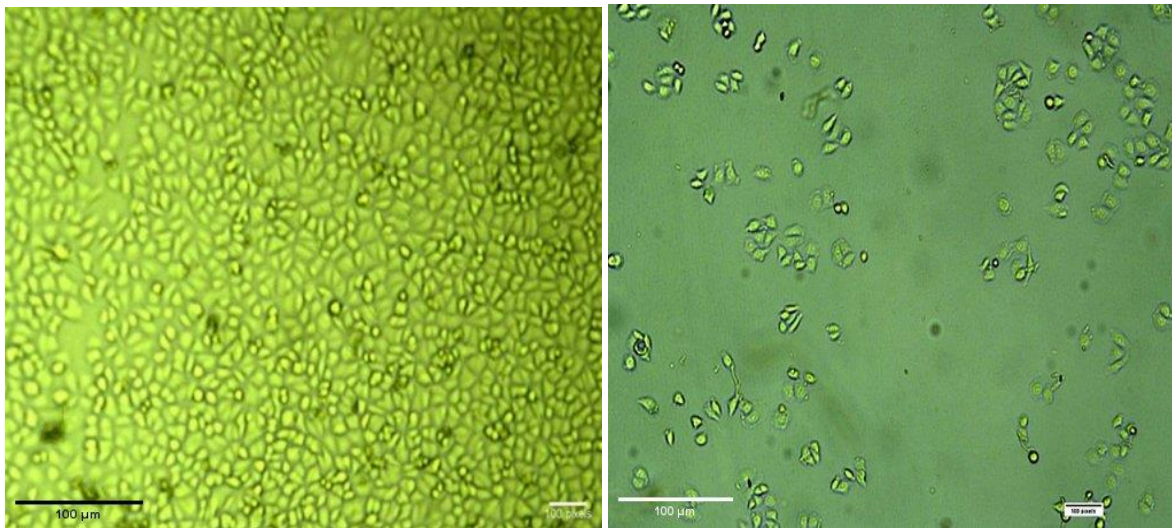
($*$ = OAK); (‡ = بلوط); (‡‡ = سیس پلاتین)

بررسی تغییر بیان زن $MMP2$ نتایج نشان دهنده کاهش بیان نسبی زن $MMP2$ در نمونه های تیمار شده با غلطه $70 \mu M$ میکرو گرم بر میلی لیتر عصاره بلوط و کاهش بیان نسبی این زن در نمونه های تیمار شده با $12 \mu M$ میکرو مولار سیس پلاتین و همچنین کاهش بیان نسبی آن در نمونه های تیمار ترکیبی این دو غلطه از هر دو دارو نسبت به کنترل می باشد. این کاهش بیان در نمونه تیمار شده ترکیبی مشهود تر می باشد که تأیید کننده اثر سینه ریسمی ترکیب دو دارو می باشد (شکل ۷).



شکل ۶. نمودار بیان نسبی $CDK2$ در نمونه های تیمار شده AGS و نمونه کنترل

($*$ = OAK); (‡ = بلوط); (‡‡ = سیس پلاتین)

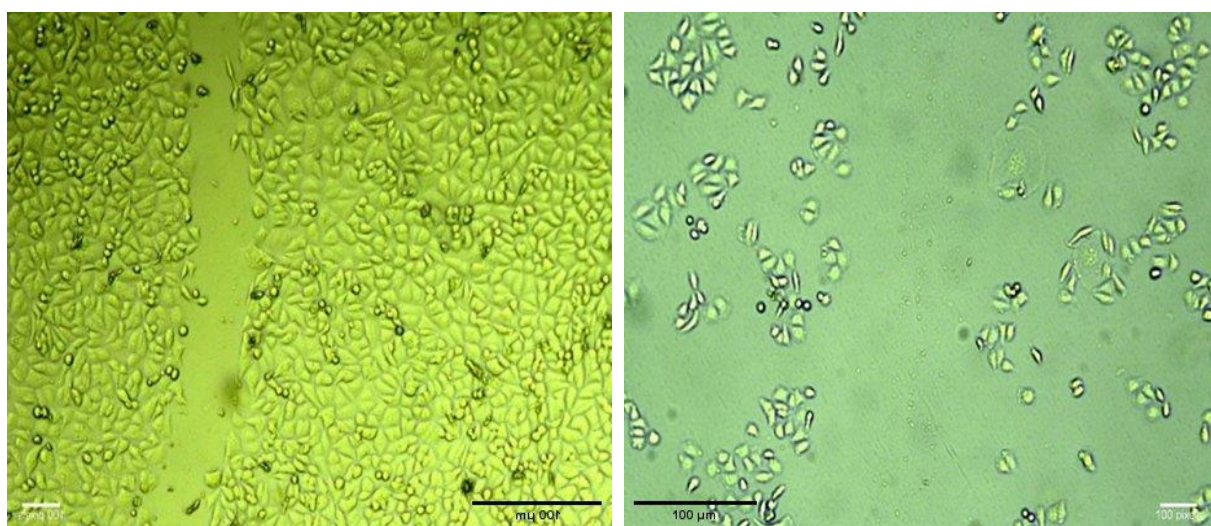


شکل ۸ عکس سمت راست، نمونه‌ی کشت سلول AGS به عنوان نمونه‌ی کنترل بدون تیمار در ساعت (۰) و عکس سمت چپ، ۴۸ ساعت بعد (بدون تیمار) بررسی سلول‌های مهاجرت کرده به فضای زخم نشان‌دهنده قابلیت مهاجرت سلول‌های AGS بدون دریافت مهاجرت سلول‌های با مقایسه با سلول‌های کنترل است (بزرگنمایی $\times 4$).

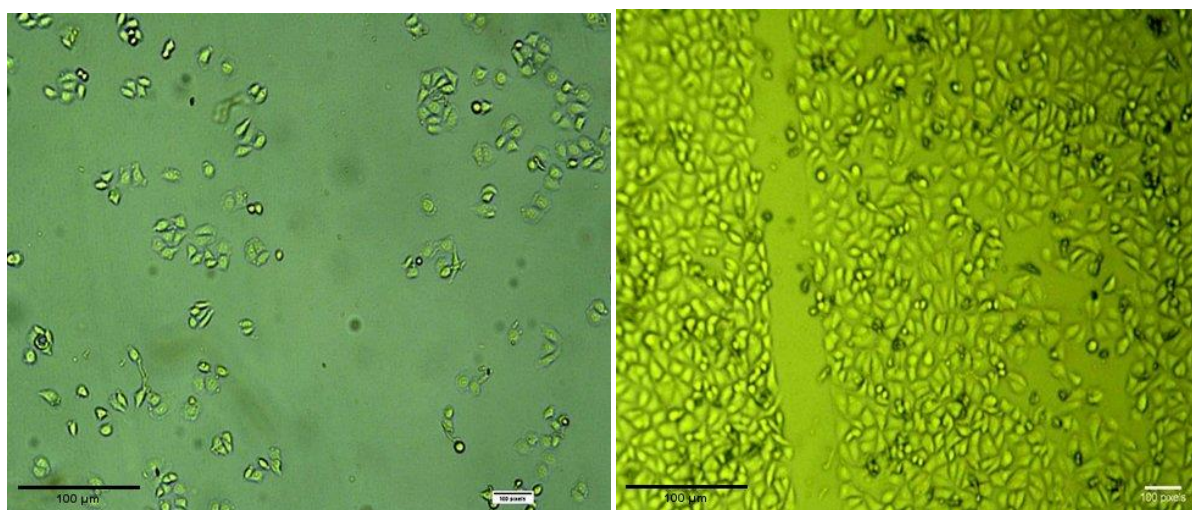
رشد و تکثیر سلول‌های AGS، سرطان معده انسان از طریق القای اثرات سایتو توکسیک و آپوپتوز جلوگیری می‌کند. بر اساس نتایج به دست آمده، مشخص شد که ترکیب عصاره میوه بلوط با سیس پلاتین می‌تواند در یک روش وابسته به دوز باعث کاهش Cell Viability در سلول‌های آدنوکارسینوما معده (AGS) گردد که این اثر قابل مقایسه با سیس پلاتین به تنها ی می‌باشد. به علاوه ترکیب عصاره میوه بلوط و داروی سیس پلاتین در دوز مناسب باعث توقف چرخه‌ی سلولی در فاز G1 و Sub G1 کاهش فاز S می‌شود.

با افزایش غلظت عصاره میوه بلوط و رسیدن به غلظت‌های کشنده، کاهش زنده‌مانی سلول‌های رده‌ی سلولی AGS به صورت وابسته به دوز مشاهده می‌شود. اثرات سایتو توکسیک القا شده بر سلول‌های AGS توسط عصاره میوه بلوط وابسته به غلظت و زمان تیمار سلول‌ها بودند و هرچه غلظت تیمار زیادتر بود، زیستایی کاهش بیشتری نشان داد.

همچنین بر اساس داده‌های حاصل از MTT، افزایش کشنده‌گی وابسته به دوز دیده شد که نشان‌دهنده سمتی و خاصیت کشنده‌گی این ماده می‌باشد. عصاره میوه بلوط، از



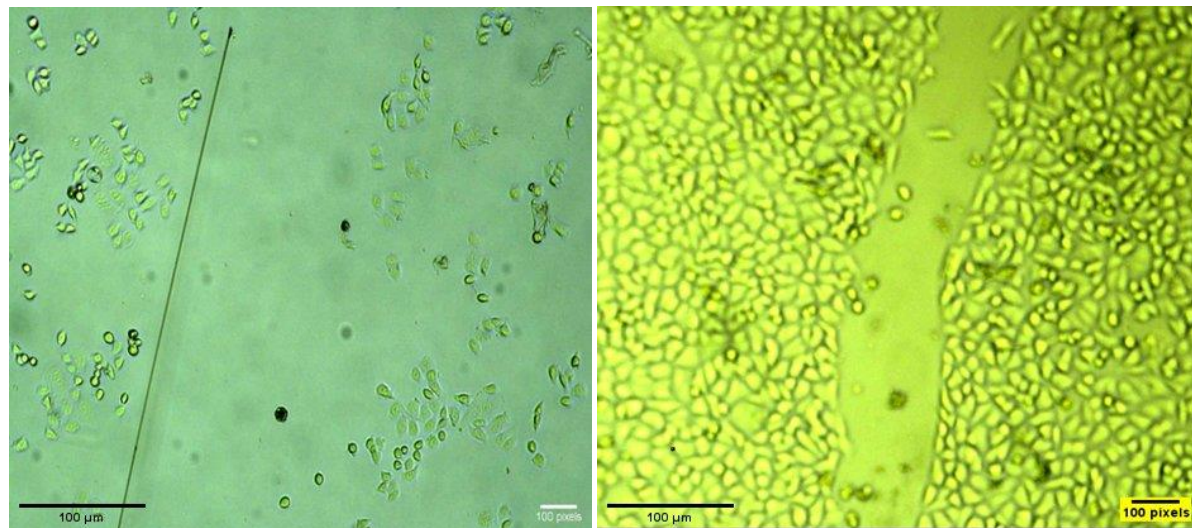
شکل ۹ عکس سمت راست، تیمار با خلقت (IC₅₀) $12 \mu\text{M}$ سیس پلاتین ساعت (۰) و عکس سمت چپ، ۴۸ ساعت بعد از تیمار بررسی سلول‌های مهاجرت کرده به فضای زخم نشان‌دهنده تفاوت معنی‌دار در قابلیت مهاجرت سلول‌های AGS دریافت کننده تیمار در مقایسه با سلول‌های کنترل است. نتایج، نشان از مهار معنادار مهاجرت سلول‌های سرطانی در غلظت (IC₅₀) ۱۲ میکرو مولار سیس پلاتین (بزرگنمایی $\times 4$)

شکل ۱۰. عکس سمت راست، تیمار با غلظت (IC₅₀) ۷۰mg عصاره میوه بلوط ساعت (۰) و عکس سمت چپ ۴۸ ساعت بعد از تیمار برسی

سلول‌های مهاجرت کرده به فضای زخم نشان‌دهنده تفاوت معنی‌دار در قابلیت مهاجرت سلول‌های AGS دریافت کننده تیمار در مقایسه با سلول‌های کنترل است. نشان از مهار معنادار مهاجرت سلول‌های سرطانی در ۷۰ میلی‌گرم عصاره بلوط (بزرگنمایی ۴ \times)

میلی لیتر ۴۸ ساعت پس از تیمار؛ ۸۸ درصد سلول‌ها در فاز آپوپتوز و تنها ۱/۴ درصد سلول‌ها در فاز نکروز و مابقی سلول‌ها در فاز زنده قرار داشتند و این نشان‌دهنده القاء آپوپتوز توسط عصاره میوه بلوط می‌باشد. نمونه‌ی تیمار شده با غلظت ۱۲ میکرومولار سیس پلاتین یعنی غلظت (IC₅₀) ۴۸ ساعت پس از تیمار نشان داده شده که ۷۴ درصد سلول‌ها در فاز آپوپتوز می‌باشند و تنها ۱/۷ درصد سلول‌ها در فاز نکروز و مابقی سلول‌ها در فاز زنده می‌باشند؛ و این نشان‌دهنده القاء آپوپتوز توسط سیس پلاتین می‌باشد.

همچنین ترکیب این دو ماده فعالیت CDK2/cyclin E را با افزایش سطح پروتئین P21 کاهش داده است. به طوری که شاهد اثرات سیس پلاتین و عصاره میوه بلوط بر مرگ سلولی (آپوپتوز) بودیم که این اثر در دوز ترکیبی این دو دارو مشهودتر بود و این می‌تواند نشان‌دهنده اثر سینرژیسمی این دو دارو در ترکیب با یکدیگر باشد. بررسی آپوپتوز نشان داد که نمونه‌ی نرمال بدون تیمار، حدود ۷۶ درصد سلول‌ها در فاز زنده می‌باشند و همچنین تیمار سلول‌ها با عصاره میوه بلوط در غلظت (IC₅₀) یعنی ۷۰ میکروگرم بر

شکل ۱۱. عکس سمت راست، تیمار ترکیبی با غلظت ۷۰mg عصاره بلوط و ۱۲ μ m سیس پلاتین ساعت (۰) و عکس سمت چپ، ۴۸ ساعت بعد از تیمار برسی سلول‌های مهاجرت کرده به فضای زخم نشان‌دهنده تفاوت معنی‌دار در قابلیت مهاجرت سلول‌های AGS دریافت کننده تیمار در مقایسه با سلول‌های کنترل است.

نتایج، نشان از مهار معنادار مهاجرت سلول‌های سرطانی در ترکیب این دو دارو در غلظت‌های ۷۰/۱۲ نسبت به نمونه کنترل دارد (بزرگنمایی ۴ \times)

سلولی (NSCL) سلول‌های سرطانی ریه، دارای فعالیت ضد متاستازی و آپوپتوز می‌باشد که در این بین میزان این فعالیت در بوتولین جدا شده از برگ گیاه بالاتر از سایر مواد جدا شده بود (۱۶). Moradi و همکاران در سال ۲۰۱۶ در مطالعه‌ای بیان کردند که عصاره‌ی خام اتیل الکلی بلوط، باعث افزایش مرگ سلول‌های سرطانی از طریق القا زودرس آپوپتوز می‌شود. همچنین اثربخشی این ماده را بر روی سلول‌های HDFs&AGS&Hella در شرایط آزمایشگاهی بررسی نمودند و مشاهده کردند که پس از MTT assay آپوپتوز اولیه مهار می‌گردد (۱۳).

پژوهش حاضر اولین مطالعه‌ای است که به بررسی اثرات عصاره‌ی میوه بلوط به همراه ترکیب داروی معمول سیس پلاتین پرداخته است. مشخص شد که بسیاری از ترکیبات گیاهی، رشد سلول‌های توموری را با توقف چرخه‌ی سلولی و القای مرگ برنامه‌ریزی شده مهار می‌نمایند. به عنوان مثال، فلاووپیریدول به واسطه‌ی مکانیسم‌های مختلفی از قبیل مهار انواع CDK‌ها قادر به توقف چرخه‌ی سلولی می‌باشند. مشاهده شد که ترکیب این دو ماده از طریق مکانیسم‌های ملکولی مختلف باعث تحریک آپوپتوز، توقف چرخه‌ی سلولی و مهار مهاجرت و نیز مهار تکثیر سلول‌های سرطانی می‌شوند. در واقع بخشی از اثرات دارویی این ترکیب را نیز می‌توان به مهار تکثیر سلولی و القاء مرگ برنامه‌ریزی شده سلول نسبت داد.

نتیجه‌گیری

به نظر می‌رسد ترکیب عصاره‌ی میوه بلوط و سیس پلاتین می‌تواند با افزایش بیان ژن‌هایی که نقش سرکوبگر تومور دارند، مثل *P21* و کاهش بیان *CDK*‌ها منجر به مهار رشد شوند. از سوی دیگر با کاهش بیان ژن‌های ماتریکس متالوپروتئینازها مثل *MMP2* از مهاجرت سلول‌ها و متاستاز جلوگیری می‌کند. همچنین باعث کاهش رشد و مهار رشد سلول‌های سرطانی از طریق القاء آپوپتوز می‌گردد و این اثر قابل مقایسه با اثر سیس پلاتین بهنهایی می‌باشد.

تشکر و قدردانی

این مقاله حاصل طرح تحقیقاتی به شماره‌ی پژوهانه‌ی SCU.SB1401.12468* رشتۀ‌ی ژنتیک مصوب شورای پژوهش طرح‌های علوم پایه در دانشگاه شهید چمران اهواز می‌باشد و با حمایت‌های مالی و معنوی این دانشگاه انجام شده است.

تیمار ترکیبی سیس پلاتین و بلوط ۷۰/۱۲ در غلظت (IC₅₀) دو دارو، ۴۸ ساعت پس از تیمار نشان داد که ۹۲ درصد سلول‌ها در فاز آپوپتوز می‌باشند و تنها ۰/۸ درصد سلول‌ها در فاز نکروز و متابقی سلول‌ها در فاز زنده می‌باشند و این نشان دهنده‌ی القاء آپوپتوز توسط این دو دارو است. در مقایسه با تیمار سلول‌ها بهنهایی تیمار ترکیبی اثر قوی‌تری بر القاء آپوپتوز ایجاد کرده که این می‌تواند نشان دهنده‌ی اثر سینزیسمی دو دارو با یکدیگر در حالت ترکیبی باشد. طبق نتایج به دست آمده در هر سه تیمار، میزان سلول‌ها در فاز تأخیری، Q2 (مرگ) آپوپتوز بیشتر بوده است. همچنین نتایج حاصل از آزمون ترمیم زخم حاکی از امکان مهار قابلیت مهاجرت سلولی و احتمالاً به دنبال آن مهار فرایند متاستاز توسط سیس پلاتین در غلظت ۱۲ میکرو مولار و عصاره‌ی میوه بلوط در غلظت ۷۰ میکروگرم بر میلی لیتر می‌باشد. این اثر مهاری در حالت ترکیبی این دو ماده باهم نیز دیده شد. نتایج به دست آمده در این زمینه نشان داد که این اثر مهاری از طریق کاهش بیان *MMP2* (ماتریکس متالوپروتئیناز ۲)، القاء شده است.

در این مطالعه، با بررسی بر روی بیان ژن‌ها؛ نتایج حاصل نشان از افزایش بیان نسبی معنادار ژن *P21* در تیمار با عصاره‌ی میوه بلوط و سیس پلاتین هر کدام بهنهایی در غلظت IC₅₀ و تیمار ترکیبی داروها و کاهش بیان ژن‌های *MMP2* و *CDK2* در تیمار با عصاره‌ی میوه بلوط و سیس پلاتین هر کدام بهنهایی در غلظت IC₅₀ و تیمار ترکیبی داروها دارد.

در سال‌های اخیر مطالعات گسترده‌ای بر روی تأثیرات درمانی داروهای غیر شیمیایی و گیاهی در زمینه‌ی انواع سرطان‌ها انجام گرفته است. کاربرد گیاهان دارویی به جای داروهای صناعی در سال‌های اخیر به دلیل کم بودن عوارض جانبی و تنوع ترکیبات مؤثره گیاهی افزایش یافته است. گرایش به استفاده از داروهای شیمیایی و سنتزی به ویژه در طی سال‌های اخیر روبه افزایش بود و ترکیبات شیمیایی به دست آمده از گیاهان، فرسته‌های مهمی را جهت پیدا کردن داروهای جدید با منشأ طبیعی فراهم آورده است.

در سال ۱۳۹۴ طی مطالعه‌ای کریمی و همکاران عنوان کردند که میوه بلوط به واسطه‌ی داشتن مقدار زیادی از ترکیبات فنولی دارای پتانسیل آنتی اکسیدانی بالایی است. همچنین نشان دادند که توانایی آنتی اکسیدان‌ها در مهار اکسیداسیون وابسته به غلظت بود (۱۴). در سال ۲۰۱۹ طی مطالعه‌ای که Zehra و همکاران بر روی برگ و پوسته درخت بلوط گونه Quercus incana داشتند، بیان کردند که ترکیبات جدای شده از پوسته و برگ درخت بلوط در برابر ردهی

References

1. Siegel RL, Miller KD, Jemal A. Cancer statistics, 2018. CA Cancer J Clin 2018; 68(1): 7-30.
2. Poorolajal J, Moradi L, Mohammadi Y, Cheraghi Z, Gohari-Ensaf F. Risk factors for stomach cancer: a

- systematic review and meta-analysis. *Epidemiol Health* 2020; 42:e2020004.
3. Dicken BJ, Bigam DL, Cass C, Mackey JR, Joy AA, Hamilton SM. Gastric adenocarcinoma: review and considerations for future directions. *Ann Surg* 2005; 241(1): 27-39.
 4. Sitarz R, Skierucha M, Mielko J, Offerhaus GJA, Maciejewski R, Polkowski WP. Gastric cancer: epidemiology, prevention, classification, and treatment. *Cancer Manag Res* 2018; 10: 239-48.
 5. Sun K, Jia K, Lv H, Wang S-Q, Wu Y, Lei H, et al. EBV-positive gastric cancer: Current knowledge and future perspectives. *Front Oncol* 2020; 10: 583463.
 6. Quadri HS, Smaglo BG, Morales SJ, Phillips AC, Martin AD, Chalhoub WM, et al. Gastric adenocarcinoma: a multimodal approach. *Front Surg* 2017; 4: 42.
 7. Choi YJ, Kim N. Gastric cancer and family history. *Korean J Intern Med* 2016; 31(6): 1042-53.
 8. Ngamruengphong S, Boardman LA, Heigh RI, Krishna M, Roberts ME, Riegert-Johnson DL. Gastric adenomas in familial adenomatous polyposis are common, but subtle, and have a benign course. *Hered Cancer Clin Pract* 2014; 12(1): 4.
 9. Oun R, Moussa YE, Wheate NJ. The side effects of platinum-based chemotherapy drugs: a review for chemists. *Dalton Trans* 2018; 47(19): 6645-53.
 10. Tanida S, Mizoshita T, Ozeki K, Tsukamoto H, Kamiya T, Kataoka H, et al. Mechanisms of cisplatin-induced apoptosis and of cisplatin sensitivity: potential of BIN1 to act as a potent predictor of cisplatin sensitivity in gastric cancer treatment. *Int J Surg Oncol* 2012; 2012: 862879.
 11. Rakić S, Petrović S, Kukić J, Jadranin M, Tešević V, Povrenović D, et al. Influence of thermal treatment on phenolic compounds and antioxidant properties of oak acorns from Serbia. *Food Chemistry* 2007; 104(2): 830-4.
 12. Popović BM, Štajner D, Ždero R, Orlović S, Galić Z. Antioxidant characterization of oak extracts combining spectrophotometric assays and chemometrics. *ScientificWorldJournal* 2013; 2013: 134656.
 13. Moradi M-T, Karimi A, Alidadi S. In vitro antiproliferative and apoptosis-inducing activities of crude ethyle alcohol extract of *Quercus brantii* L. acorn and subsequent fractions. *Chin J Nat Med* 2016; 14(3): 196-202.
 14. Karimi M, Del Pisheh A, Qitasi S, Hatami AH. Investigating the effect of the alcoholic extract of the inner shell of the oak fruit (pair) on the plasma level of blood glucose after a meal in healthy and diabetic male rats [in Persian]. *J Ilam Univ Med Sci* 2015; 23(5): 193-202.
 15. Maha Max. Evaluation of apoptotic and necrotic cells by Annexin V-FITC/PI staining method [in Persian]. Available from: URL: <https://mahamax.com/service/apoptose>.
 16. Zehra B, Ahmed A, Sarwar R, Khan A, Farooq U, Ali SA, et al. Apoptotic and antimetastatic activities of betulin isolated from *Quercus incana* against non-small cell lung cancer cells. *Cancer Manag Res* 2019; 11: 1667-83.

Investigating the Simultaneous Effect of Eak Fruit Extract and Cisplatin on Cell Cycle, Apoptosis and, Expression of Key Genes *P21*, *MMP2*, *CDK2* in Gastric Cancer Cell Line

Maryam Mehdi Sasan¹✉, Hamid Galehdari²✉, Seyed Mansour Seyed Nejad³,
Salar Andarzi¹, Mohammadreza Hajjari³✉

Original Article

Abstract

Background: The purpose of this research was to investigate the effect of oak fruit extract and its combination with chemotherapy drug cisplatin on AGS gastric adenocarcinoma cell line and also to evaluate its effect on cell cycle, apoptosis, and metastasis as well as the expression of key genes *P21*, *CDK2*, and *MMP2*.

Methods: Cytotoxic effects of oak fruit extract and its combination with cisplatin on gastric cancer AGS cell line 48 hours after treatment were investigated using the MTT method. Using Real-Time PCR, the expression changes of *P21*, *CDK2*, and *MMP2* genes were investigated. Cell cycle and apoptosis were also investigated by flow cytometry.

Findings: The results showed that oak fruit extract combined with cisplatin causes more effects of apoptosis and cell death and inhibition of metastasis, as well as reducing the expression of *MMP2* compared to the use of cisplatin alone after 48 hours of incubation. It also causes the cell cycle to stop in the Sub G1 phase and reduce the S phase. Also, the combination of these two substances has reduced the activity of *CDK2/cyclin E* by increasing the level of *P21* protein.

Conclusion: It seems that the combination of oak fruit extract and cisplatin can express genes that play a tumor suppressor role, such as *P21*, and reducing the expression of *CDKs* leads to growth inhibition. On the other hand, by reducing the expression of genes such as *MMP2*, it prevents cell migration. It also inhibits the growth of cancer cells by inducing apoptosis, and this effect is comparable to the effect of cisplatin alone.

Keywords: Acorn; Apoptosis; Cisplatin; Genes; Stomach Neoplasms; Tumor Suppressor

Citation: Mehdi Sasan M, Galehdari H, Seyed Nejad SM, Andarzi S, Hajjari M. Investigating the Simultaneous Effect of Eak Fruit Extract and Cisplatin on Cell Cycle, Apoptosis and, Expression of Key Genes *P21*, *MMP2*, *CDK2* in Gastric Cancer Cell Line. J Isfahan Med Sch 2024; 41(748): 1128-39.

1- Department of Biology, School of Sciences, Shahid Chamran University of Ahvaz, Ahvaz, Iran

2- Department of Genetics, Shahid Chamran Ahvaz, Ahvaz, Iran

3- Department of Biology, Shahid Chamran University of Ahvaz, Ahvaz, Iran

Corresponding Author: Mohammadreza Hajjari, Department of Biology, Shahid Chamran University of Ahvaz, Ahvaz, Iran; Email: mohamad.hajjari@gmail.com